



تحلیل ارتعاشات غیرخطی و آیروالاستیک صفحه منحنی شکل دو بعدی با اثر نیروی فشاری و آبودینامیک مافوق صوت در حوزه زمانی

حمید موسعیزاده^۱، بهزاد قدیری دهکردی^{۲*}، مسعود راسخ^۳

۱- دانشجوی دکترا، مهندسی هواپیما، دانشگاه تربیت مدرس، تهران

۲- استادیار، مهندسی هواپیما، دانشگاه تربیت مدرس، تهران

۳- استادیار، مهندسی مکانیک، دانشگاه تفرش، تفرش

* تهران، صندوق پستی 14115-143

ghadirib@modares.ac.ir

چکیده

یک صفحه هموزن دو بعدی با شرایط مرزی تکیه گاه ساده فرض شده و اثر انحنای صفحه، به همراه اثر تغییر شکل غیرخطی صفحه، با استفاده از مدل پوسته استوانه ای و رابطه ون کارمن در معادله سازه ای اعمال شده است. تحلیل فرکانسی خطی و غیرخطی سازه، برای تبیین فرکانس های سازه در اثر افزایش انحنای، به همراه اثر نیروی فشاری داخل صفحه، برای اولین بار تحقیق شده است. فلاتر صفحه منحنی شکل، تحت اثر بارهای ترکیبی آبودینامیک و نیروی فشاری داخل صفحه، برای اولین بار، بررسی شده است. تئوری پیستون مرتبه اول و مرتبه سوم برای مدل سازی بارهای آبودینامیکی مافوق صوت استفاده شده است. معادلات حرکت سیستم با استفاده از اصل همیلتون استخراج شده است. با استفاده از روش مودهای فرضی گالرکین معادلات غیرخطی با مشتقات جزئی به معادلات غیرخطی معمولی تبدیل و با روش عددی حل شده و رفتار نوسانی سیستم، تعیین شده است. تنبیهات فرکانسی سازه خطی با افزایش انحنای، در حال افزایش است در حالی که برای حالت غیرخطی، رفتار پیچیده و متغیری مشخص شده است. اثر نیروی فشاری بر صفحه، رفتار پیچیده ای در تئوری فرکانس غیرخطی سازه، نشان داده است. استفاده از مدل آبودینامیک پیستون مرتبه سه مز ناپایداری را بحرانی تر کرده است. اثر نیروی فشاری داخلی صفحه باعث تبدیل رفتار سیکل محدود به آشوبناک شده است.

اطلاعات مقاله

مقاله پژوهشی کامل

دریافت: 21 اردیبهشت 1393

پذیرش: 31 تیر 1393

ارائه در سایت: 06 آبان 1393

کلید واژگان:

فلاتر صفحه

نیروی داخل صفحه

تفویر پیستون مرتبه اول و سوم

صفحه دو بعدی

حوزه زمان

2D Curved plate Non-linear vibration and Aeroelastic analysis with in-plane and Supersonic Aerodynamic load in Time domain

Hamid Moosazadeh¹, Behzad Ghadiri Dehkordi^{2*}, Masoud Rasekh³

1- Department of Aerospace Engineering, Tarbiat Modares University, Tehran, Iran

2- Department of Aerospace Engineering, Tarbiat Modares University, Tehran, Iran

3- Department of Mechanical Engineering, Tafresh University, Tafresh, Iran

* P.O.B. 14115-143 Tehran, Iran, ghadirib@modares.ac.ir

ARTICLE INFORMATION

Original Research Paper

Received 11 May 2014

Accepted 22 July 2014

Available Online 28 October 2014

Keywords:

Panel flutter

In-plane load

1st order and 3rd order piston theory

aerodynamic

2D curve plate

Time domain

ABSTRACT

A homogenous 2D plate with simply support boundary conditions is assumed. The effect of plate curvature and nonlinear deformation effects with cylindrical shell model and von Karman's relation, has been introduced. Linear and Non-linear Frequency analysis with the effect of curvature and in-plane load has been investigated for the first time. Curved plate panel flutter, with the effect of supersonic aerodynamic and in-plane load has been studied for the first time. First and third order piston theory aerodynamic (PTA) is employed to model supersonic aerodynamic loading. Equations of motion have been derived by the use of Hamilton's principle and resultant nonlinear PDEs have been transformed into nonlinear ODEs via Galerkin's method. Forth and fifth order rang-kutta numerical method has been used to solve ODEs and define panel behavior. Results show that, structural linear frequencies increase with panel curvature, while, it is more complicated for non-linear frequencies due to the effects of in-plane loads. Furthermore, 3rd order PTA theory has more critical effect on the instability boundary in comparison with 1st order PTA. The effect of in-plane load in aeroelastic phenomena make limite cycle osilation to chaotic motion for curve plates.

-1 مقدمه

ارتعاشات سازه غیرخطی در اثر تقابل بین الاستیسیته، اینرسی و آبودینامیک، در محدوده آیروالاستیسیته قرار دارد. دینامیک صفحه با فلاتر دینامیکی و واگرایی استاتیکی، در کنار هم شناخته می شود. فلاتر در اثر تراکمی در مزهای صفحه، بدلیل پیش بار انتقال نامطلوب صفحه؛ یا گرادین

Please cite this article using:

H. Moosazadeh, B. Ghadiri Dehkordi, M. Rasekh, 2D Curved plate Non-linear vibration and Aeroelastic analysis with in-plane and Supersonic Aerodynamic load in Time domain, *Modares Mechanical Engineering*, Vol. 14, No. 15, pp. 405-413, 2015 (In Persian)

برای ارجاع به این مقاله از عبارت ذیل استفاده نمایید:

پرداخت [20]. زوو (1994)، از روش المان محدود برای مدل سازی حوزه زمانی فلاوتر غیرخطی صفحه مواد مرکب استفاده نمود [21]. لیبرسکو (1996 و 1997)، ارتعاشات صفحه تخت، با نقص هندسی، تحت اثر بار حرارتی و مکانیکی را بررسی نمود. همین‌طور، تقابل نیرو و فرکانس سیستم برای صفحه منحنی شکل، با اثر نقص راء، بررسی نمود [22,23]. لیبرسکو (2004)، به بررسی فلاوتر خطی و غیرخطی مافوق صوت صفحه در دمای بالا پرداخت [24]. عباس و همکاران (2011)، مطالعه پارامتریک فلاوتر فوق صوتی/ماوراء صوتی و رفتار آیروترموالاستیک صفحه منحنی شکل را بررسی نمودند [25]. یانگ و همکاران (2012)، بررسی فلاوتر صفحه ماوراء صوت در ترکیب دوراهه آیروالاستیسیته و آیروترمال برای صفحه منحنی شکل انجام دادند. صفحه با تکیه‌گاه ساده و اثر غیرخطی هندسی، براساس مدل ون کارمن، مدل شد [26].

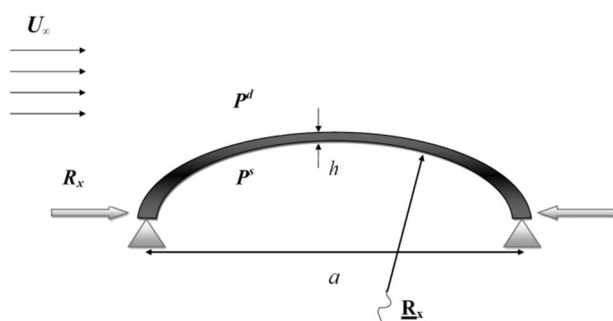
3-3- تحقیق حاضر

در این تحقیق، بررسی فرکانس ارتعاشی صفحه خمیده، به صورت خطی و غیرخطی، در حوزه زمان، تحت اثر نیروی داخل صفحه کششی و فشاری، برای اولین بار انجام شده است. همین‌طور، تحلیل فلاوتر صفحه خمیده غیرخطی، با استفاده از تئوری پیستون مرتبه اول و سوم، تحت اثر نیروی داخل صفحه نیز برای اولین بار، انجام شده است. معادلات سازه شامل مدل صفحه دو بعدی با اثر هندسه غیرخطی ون کارمن با اثر نیروی داخل صفحه در نظر گرفته شده است. بعد از تشکیل معادلات غیرخطی حاکم، با استفاده از روش مودهای فرضی و روش گالرکین، معادلات حوزه زمان به روش رانگ-کوتای مرتبه 4 و 5 حل شده است. شرایط مرزی تکیه‌گاه ساده فرض شده است. نتایج در سه بخش، شامل؛ تحلیل فرکانس خطی سازه با تغییر انحنای صفحه، تحلیل فرکانسی غیرخطی؛ با تغییر ارتفاع و اثر نیروی داخل صفحه، تحلیل آیروالاستیک غیرخطی و بررسی رفتار صفحه تحت اثر نیروهای مختلف، انجام شده است.

2- مدل سازی ریاضی

ابتدا مدل صفحه خمیده تحت اثر جریان آیرودینامیکی مافوق صوت و اثر بارهای خارجی آیرودینامیک و نیروی فشاری داخل صفحه، در شکل 1 نشان داده شده است.

U_x سرعت جریان آزاد روی صفحه، R_x نیروی داخل صفحه، P^d فشار دینامیکی جریان بالای صفحه، P^s فشار استاتیکی پایین صفحه، h ضخامت صفحه و a پهنای صفحه است. معادلات حاکم با استفاده از اصل کار مجازی تعیین شده است. خمس سازه با رابطه‌ی (1) تعریف شده است. [25,26]



شکل 1 مدل هندسه صفحه دو بعدی تحت اثر بارهای خارجی

حرارتی است. اثر ارتفاع شکل در مزهای فلاوتر و ناپایداری آیروالاستیک صفحه بسیار اهمیت دارد که با رویکردی جدید، با درنظر گرفتن بارهای مختلف بر روی صفحه، این تحلیل انجام شده است. برای صفحه دو بعدی منحنی شکل، دامنه نوسانات در هنگام فلاوتر، در حدود ارتفاع ارتفاعی صفحه است. اثر بار آیرودینامیکی به دلیل وجود ارتفاع ارتفاعی فلاوتر صفحه تأثیر می‌گذارد. نتایج تجربی فلاوتر صفحه منحنی شکل، در مقایسه با نتایج تئوری، همخوانی خوبی را از جهت کیفی نشان داده است.

1-1- تحلیل فلاوتر غیرخطی صفحه

جردن (1956)، با استفاده از تئوری خطی سازه، حرکت صفحه ناپایدار را در فشار دینامیکی بحرانی نشان داد [1]. داول (1965)، مطالعه تئوری و تجربی فلاوتر صفحه در اعداد ماخ 1 تا 5 را انجام داد [2]. دوگوندجی (1966)، یک فعالیت خوب و پایه‌ای بر روی فلاوتر صفحه، در سرعت‌های مافوق صوت بالا، به صورت تئوری انجام داد. او صفحه ایزوتروپ و خطی و آیرودینامیک خطی استفاده نمود [3]. کوئو (1972)، تحلیل افتکاشی و تعادل هارمونیک را برای سیستم غیرخطی فلاوتر صفحه استفاده نمود [4]. دورسی (2002)، تحلیل سیستم الستیک، با اثرات حرارت و آیرودینامیک، در طراحی حامل بازگشت‌پذیر به جو، انجام داد. او به بررسی قابلیت ایجاد تغییر شکل، تنش‌های ترمومکانیک و تغییر در خواص سازه، که منجر به رفتار ناپایدار آیروالاستیک صفحه می‌شود، پرداخت [5]. جوئو و مئی (2006)، بررسی فلاوتر صفحه با استفاده از مودهای آیروالاستیک، برای تحلیل غیرخطی؛ با اثر حرارت روی صفحه راء، انجام دادند [6]. کولر (2010)، به بررسی ترکیب سازه-حرارت-سیال برای تحلیل آیروترموالاستیک در جریان مافوق صوت پرداخت [7]. پرز (2011)، از روش رتبه کاسته غیرخطی، برای تحلیل پاسخ ترمومکانیک صفحه ایزوتروپ و مواد (FG) استفاده نمود [8]. ویزال (2012)، برهمکنش میان شوک افقی و صفحه انعطاف‌پذیر را بررسی نمود [9].

1-2- تحلیل فلاوتر صفحه منحنی شکل

در زمینه فلاوتر صفحه خمیده نیز فعالیت‌هایی انجام شده است. یانگ (1954)، پایداری استاتیکی صفحه خمیده دو بعدی را در جریان مافوق صوت برای پدیده فلاوتر صفحه بررسی کرد [10]. یاتس و زیدل (1959)، با تحلیل خطی، فلاوتر صفحه منحنی شکل را بررسی نمودند [11]. اندرسون (1962)، نتایج تجربی برای صفحه منحنی شکل، در جریان آیرودینامیک مافوق صوت راء، تعیین نمود [12]. استبرمن و همکاران (1962)، آزمایشات فلاوتر پوسته استوانه‌ای را انجام دادند [13]. بولوتین (1963)، معادلات صفحه منحنی شکل را بدون نتایج کمی، تعیین و ارائه نمود [14]. هوبالت (1965)، به بررسی چندین مسئله آئوترموالاستیک مربوط به سازه هواپیما در سرعت‌های بالا پرداخت [15]. اسچافر و همکاران (1965)، فلاوتر صفحه تخت، تحت اثر حرارت گستره غیرخطی راء، بررسی نمود [16]. داول (1969)، تحلیل خطی و غیرخطی به روش گالرکین برای بررسی فلاوتر صفحه منحنی شکل با استفاده از اثر غیرخطی ون کارمن در معادلات و اثر بارگذاری آیرودینامیکی شبیه پایا انجام داد [17]. ونتز و داول (1970)، به مقایسه تئوری و تجربی فلاوتر غیرخطی صفحه بارگذاری شده پرداختند [18]. یانگ (1976)، فلاوتر صفحه کمانش یافته را با روش المان محدود بررسی کرد [19]. زوو (1993)، به بررسی فلاوتر صفحه غیرخطی با استفاده از روش المان محدود با گستره دمایی مختلف بر روی صفحه در جریان مافوق صوت

$$P^d(x,t) = P_\infty \left(1 + \gamma \frac{M}{\beta_1} \left(\eta_1 \frac{V_z}{C_\infty} \right) + \left[\frac{\gamma(\gamma+1)}{4} \right] \frac{M}{\beta_1} \left(\eta_1 \frac{V_z}{C_\infty} \right)^2 + \frac{\gamma(\gamma+1)}{12} \frac{M}{\beta_1} \left(\eta_1 \frac{V_z}{C_\infty} \right)^3 \right) \quad (11)$$

$\eta_1 = \frac{M}{\sqrt{M^2 - 1}}$ ، تعریف شده است. برای تعیین فشار آیرودینامیکی

دینامیکی روی صفحه رابطه V_z ، در اثر جریان سیال بالای صفحه براساس تغییر شکل عمودی صفحه تعریف شده است [25,17].

$$V_z = (\beta_2 W_{0,t} + U_\infty (W_{0,x} + \dot{W}_{0,x})) \quad (12)$$

C_∞ ، سرعت صوت و رابطه $C_\infty^2 = \frac{\gamma P_\infty}{\rho_\infty}$ ، برقرار است. P_∞ ، ρ_∞ و γ ، به ترتیب، فشار اتمسفر، چگالی هوا و ضریب ثابت گاز آیزنتروپیک $\gamma = 1.4$ ، تعریف شده‌اند. $\dot{W}_{0,x}$ اثر نقص یا انحنای اولیه در صفحه است. تئوری پیستون، یک روش معمول و مورد استفاده برای تحلیل آیروالاستیک سیستم در جریان‌های مافق صوت و موارء صوت بشمار رفته است. برای عدد ماخ M و فشار دینامیکی q_∞ و ضریب β_1 و β_2 تعاریف رابطه (13) درنظر گرفته شده است.

$$M = \frac{U_\infty}{C_\infty}, q_\infty = \frac{\rho_\infty U_\infty^2}{2}, \beta_1 = \sqrt{M^2 - 1}, \beta_2 = \frac{M^2 - 2}{M^2 - 1}. \quad (13)$$

برای اعداد ماخ بزرگ $M = \beta_1 = 1$ و $\beta_2 = 1$ فرض شده است.

2-2-معادلات غیرخطی آیروالاستیک صفحه

ابتدا متغیرهای بی بعد سیستم تعریف شده است.

$$\begin{aligned} W &= \frac{W}{a}, \dot{W} = \frac{\dot{W}}{h}, \xi = \frac{x}{a}, \bar{t} = t\Omega_0, \Omega_0 = \left(\frac{\pi}{a} \right)^2 \sqrt{\frac{D_0}{\rho_\infty h}}, \\ \bar{\Omega} &= \Omega_0 \frac{a}{C_\infty}, \bar{h} = \frac{h}{a}, \hat{h} = \frac{h}{R_x}, \bar{P}^s(x) = P^s(x) \frac{a^4}{D_0 h}, \\ \bar{\rho} &= \frac{\rho_m}{\rho_\infty}, H \approx \frac{a^2}{8R_x}, \mu = \frac{\rho_\infty a}{\rho_m h}, \beta = \sqrt{M^2 - 1}, \lambda = \frac{2qa^3}{D_0}, \\ R_x &= \frac{E_0 h a^2 \eta}{D_0 (1-\nu^2)} = C_r \pi^2, K = \frac{\omega}{\Omega_0}. \end{aligned} \quad (14)$$

Ω_0 ، فرکانس اول صفحه، $\bar{\Omega}$ ، فرکانس بی بعد و K ، فرکانس‌های بی بعد صفحه بر حسب فرکانس اول است. C_r ، ضریب نیروی غیرخطی درنظر گرفته است. اثر انحنای صفحه با رابطه (15) تعریف شده است [17].

$$\frac{\dot{W}}{H} = \left[1 - \frac{\left(x - \frac{a}{2} \right)^2}{\left(\frac{a}{2} \right)^2} \right] \quad (15)$$

بعد از بی بعد سازی به رابطه (16) تبدیل شده است.

$$\dot{W} = -\frac{\hat{h}}{2\bar{h}^2} (\xi - 1) \quad (16)$$

با جایگذاری رابطه (15) در (12) و رابطه (12) در (11) و رابطه (11) در (9)، همین‌طور، جایگذاری روابط (7-6) در (5) و جایگذاری رابطه (3) در (2)، درنهایت، با جایگذاری روابط (9)، (5) و (2) در رابطه (1) و با استفاده از روابط بی بعد، رابطه غیرخطی نهایی آیروالاستیسیته حاصل برای صفحه دو بعدی، به صورت رابطه (17) بیان شده است.

$$M_{x,xx} - N_x \left(W_{0,xx} - \frac{1}{R_x} \right) + \Delta P_a + \rho_m h W_{0,tt} = 0 \quad (1)$$

N_x جابجایی عمودی صفحه، N_x تنش محوری، M_x گشتاور خمی، ΔP_a فشار آیرودینامیکی و عبارت آخر رابطه بالا اینرسی انتقالی¹ صفحه است. که طبق روابط (2,3)؛

$$M_x \equiv D W_{0,xx} \quad (2)$$

$$D = \frac{Eh^3}{12(1-\nu^2)} \quad (3)$$

D سفتی صفحه، E مدول الاستیک، ν ضریب پواسون و $W_{0,xx}$ تغییرات انحنای صفحه میانی است. کرنش صفحه براساس رابطه غیرخطی ون کارمن با رابطه (4) تعریف شده است [27].

$$\varepsilon_x = U_{0,x} + \frac{1}{2} (W_{0,x})^2 + \frac{W_0}{R_1} \quad (4)$$

تنش، در اثر وجود قید در مرزهای صفحه تولید شده است. N_x براساس بار کلی داخل صفحه در جهت x تعیین شده است [26]. طبق رابطه (5)؛

$$N_x = N_x^m + N_x^g \quad (5)$$

N_x^m ، اثر بار مکانیکی کششی یا فشاری داخل صفحه، N_x^g ، اثر تغییر شکل‌های هندسی غیرخطی صفحه است. طبق روابط (6,7) داریم:

$$N_x^m = \frac{ah}{(1-\nu^2)} \frac{1}{\int_0^a E(x)^{-1} dx} \eta \quad (6)$$

$$N_x^g = \frac{h}{(1-\nu^2)} \frac{1}{\int_0^a E(x)^{-1} dx} \left(\frac{1}{2} \int_0^a (W_{0,x})^2 dx + \frac{1}{R_x} \int_0^a W_0 dx \right) \quad (7)$$

η ضریب اثر نیروی کششی یا فشاری اعمالی در مرزهای صفحه بر واحد سطح است. شرایط مرزی صفحه برای حالت تکیه‌گاه ساده به صورت رابطه (8) تعریف شده است [28].

$$\begin{aligned} W_0(x,t) &= 0 \\ W_{0,xx}(x,t) &= 0 \end{aligned} \quad (8)$$

2-1-بارگذاری آیرودینامیکی

قابل سازه و سیال براساس تئوری پیستون غیرخطی درنظر گرفته شده است. ΔP_a ، فشار گستردگی بر روی صفحه در اثر جریان آیرودینامیک بالای صفحه به صورت رابطه (9) تعریف شده است،

$$\Delta P_a = P^d(x,t) + P^s(x) \quad (9)$$

$P^d(x,t)$ ، اثر نیروی آیرودینامیکی ناپایا و $P^s(x)$ ، نیروی استاتیکی اولیه درنظر گرفته شده است.

رابطه فشار ایزنتروپیک بر روی صفحه با استفاده از تئوری پیستون براساس سرعت عمودی جریان بر روی صفحه V_z (سرعت فروریزش)²، در یک بعد به صورت رابطه (10) نشان داده شده است [29].

$$P^d(x,t) = P_\infty \left(1 + \frac{\gamma - 1}{2} \cdot \frac{V_z}{C_\infty} \right)^{\frac{2}{\gamma-1}} \quad (10)$$

با بسط رابطه (10) تا مرتبه سه، مدل پیستون مرتبه سه بدست آمده است،

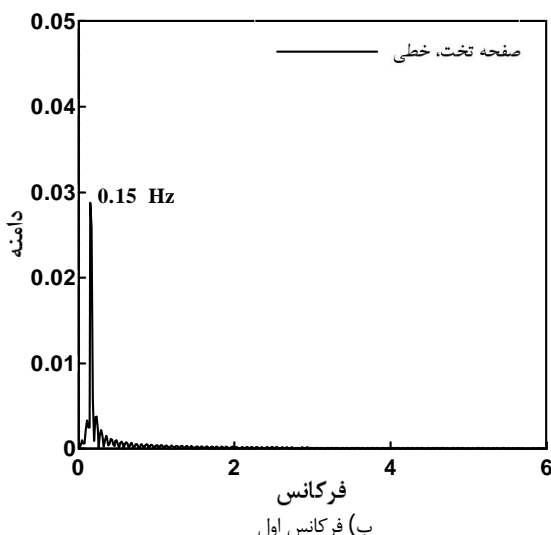
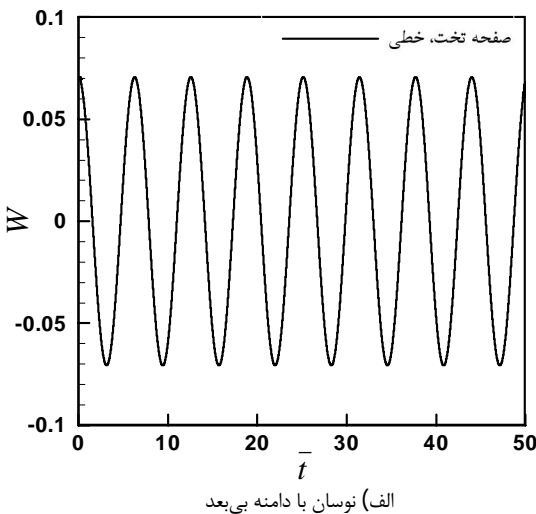
1-Transverse inertia

2-Downwash velocity

شکل 2 الف، نوسانات صفحه تخت در طول زمان با دامنه بی بعد 0/07 شده و در شکل 2 ب، فرکانس مربوط به این نوسان ترسیم شده است. مقدار فرکانس اول صفحه تخت 0/15 هرتز است.

جدول 1 ورودی‌های نمونه مسئله

نام متغیر	واحد	مقدار
چگالی سازه	ρ_m kg.m ⁻³	2700
ضریب پواسون	v	0/33
مدول الاستیک دمای محیط	E_0 pa	70×10^9
مدول الاستیک دمای صفر درجه	E_s pa	$82/86 \times 10^9$
پهنهای صفحه	θ m	1
ضخامت صفحه	h m	0/01
سرعت صوت	C_∞ m.s ⁻¹	340
ثابت گازها	γ	1/4
چگالی هوا	ρ_∞ kg.m ⁻³	1/225



شکل 2 نوسان و فرکانس خطی صفحه تخت در طول زمان

$$W = \frac{12}{h^2} \left(\eta + \frac{1}{2} \int_0^1 (W_{,\xi})^2 d\xi + \frac{\hat{h}}{h} \int_0^1 W d\xi \right) \times \\ \left(W_{,\xi\xi} - \frac{\hat{h}}{h} \right) + \pi^4 W_{,\bar{T}} + \frac{M^2 \pi^4}{h \bar{\rho} \bar{\Omega}^2 \beta_1} \eta_1 \times \\ \left(C_{a1} \left(\beta_2 \frac{\bar{\Omega}}{M} W_{,\bar{T}} + W_{,\xi} + \bar{h} \dot{W}_{,\xi} \right) + C_{a3} \frac{1+\gamma}{4} \eta_1 M \times \right. \\ \left(\beta_2 \frac{\bar{\Omega}}{M} W_{,\bar{T}} + W_{,\xi} + \bar{h} \dot{W}_{,\xi} \right)^2 + C_{a3} \frac{1+\gamma}{12} \eta_1^2 M^2 \times \\ \left. \left(\beta_2 \frac{\bar{\Omega}}{M} W_{,\bar{T}} + W_{,\xi} + \bar{h} \dot{W}_{,\xi} \right)^3 \right) = \bar{P}^s \quad (17)$$

2-3-روش گالرکین

با استفاده از روش مودهای فرضی در مدل گالرکین، جایجایی عمودی صفحه را به صورت یک سری از مودهای سیستم سازه فرض نموده‌ایم. با توجه به شرایط مرزی تکیه‌گاه ساده تابع شکل مودهای به‌گونه‌ای تعریف شده تا شرایط مرزی را ارضاء کند. طبق روابط (19،18) داریم:

$$W = W_{,\xi\xi} = 0, \xi = 0, 1 \quad (18)$$

$$W(\xi, \bar{T}) = \sum_{i=1}^n a_i(\bar{T}) \phi_i(\xi) \quad (19)$$

$$\phi_i(\xi) = \sin(\lambda_i \xi), \lambda_i = i\pi$$

حل تقریبی حاصل برابر حل دقیق نیست و مقداری باقی‌مانده دارد. با ضرب باقی‌مانده یا خطأ در تابع پایه مورد استفاده برای شکل مودهای سیستم، قرار دادن حاصل، یک دسته رابطه دیفرانسیلی معمولی با توجه به تعداد جملات بسط داده شده بدست آمده است.

2-4-حل عددی حوزه زمانی معادلات

معادلات غیرخطی معمولی حاصل در قسمت قبل، با استفاده از روش‌های عددی قابل حل است. مدل رانگ-کوتای مرتبه 4 و 5 با استفاده از نرم‌افزار میپل¹ مورد استفاده قرار گرفته است [30,31].

3- نتایج

نتایج در سه بخش ارائه شده است. بخش اول، تحلیل فرکانسی خطی سازه صفحه خمیده با تغییر انحنای صفحه، بخش دوم، تحلیل فرکانسی غیرخطی صفحه، با تغییر انحنای صفحه و اثر نیروی داخل صفحه، بخش سوم، تحلیل آیروالاستیک غیرخطی صفحه منحنی شکل و بررسی رفتار صفحه تحت اثر نیروهای مختلف، انجام شده است. تعداد مودهای بسط داده شده در روش گالرکین، چهار، شش و هشت مود انتخاب شده است و با یکدیگر مقایسه شده و درستی نتایج با افزایش تعداد مودهای فرضی، بررسی شده است. تحریک اولیه برای تحلیل ارتعاشات صفحه خطی و غیرخطی مربوط به دامنه جایجایی مود اول تیر، در طول آن، با ضریب 0/001 و 0/01 فرض شده است. تحلیل برای صفحه آلومینیومی، با شرایط جدول 1 انجام شده است.

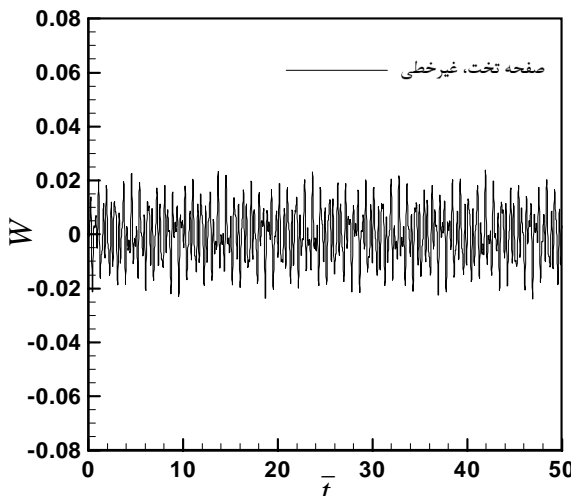
3-1-تحلیل فرکانسی خطی سازه‌ی صفحه منحنی شکل

با تغییر انحنای صفحه از حالت صفحه تخت، نوسانات بی بعد صفحه تخت و منحنی شکل و فرکانس مربوطه، برای سازه‌ی خطی، ترسیم شده است. در

- $W<0/02$ - نشان داده شده است. رفتار نوسانی سازه برای تحریک اولیه زیاد نسبت به رفتار خطی سازه در شکل 2 الف پیچیده‌تر شده و فرکانس سیستم افزایش قابل توجهی یافته است.

در شکل 5 نوسان بی‌بعد صفحه خمیده غیرخطی با انحنای 1، با مقدار اولیه تحریک $0/01$ به صورت نامتقارن نسبت به حالت تعادل، در محدوده از $0/04<W<0/02$ - نشان داده شده است. با افزایش انحنای صفحه ارتعاشات از حالت تقارن نسبت به محور طولی صفحه خارج شده و در جهت انحنای صفحه، افزایش یافته است.

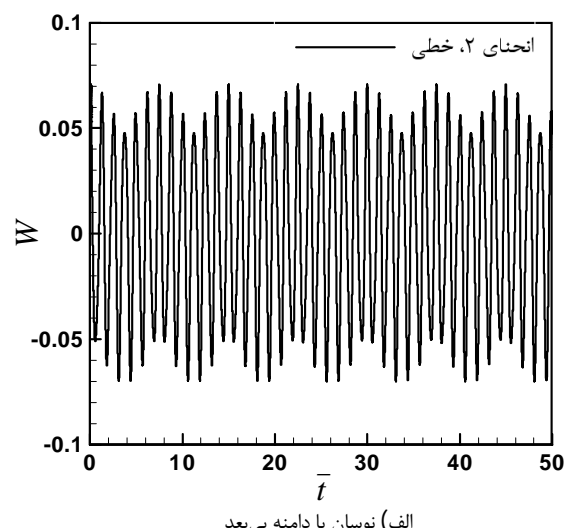
با افزایش انحنای صفحه به 3، برای مقدار اولیه تحریک $0/01$ ، نوسان صفحه در محدوده $0/02<W<0/065$ - در شکل 6 نشان داده شده است. مشخص است که محدوده نوسان صفحه منحنی شکل با افزایش انحنای صفحه، افزایش یافته است. همین‌طور، دامنه ارتعاشات صفحه در جهت انحنای صفحه و افزایش عدم تقارن ارتعاشات نسبت به حالت تعادل اولیه مشاهده شده است. نکته قابل توجه تغییرات فرکانسی این سازه با تغییر انحنا است که در بخش بعد بررسی شده است.



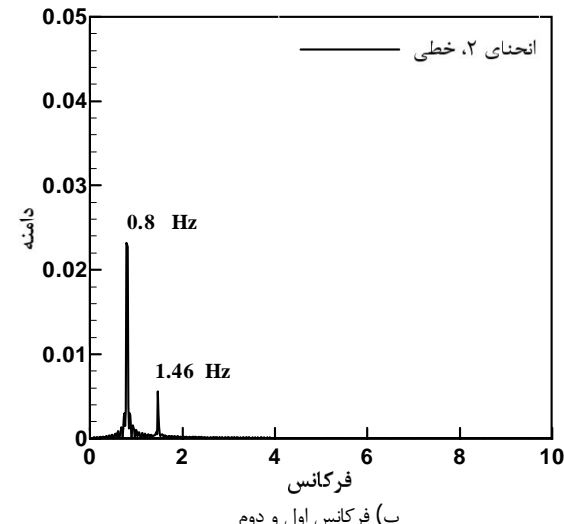
شکل 4 نوسان صفحه غیرخطی تحت با مقدار اولیه $0/01$

در شکل 3 الف، برای صفحه نمونه با خمیدگی 2 (H/\bar{h})، با تحریک اولیه بیان شده با دامنه $0/07$ ، نوسانات صفحه و در شکل 3 ب، فرکانس مربوطه که شامل مقادیر $0/8$ و $1/46$ هرتز است، نشان داده شده است. با افزایش انحنای صفحه، فرکانس سازه خطی افزایش یافته و دامنه نوسانات با تحریک اولیه ثابت باقی‌مانده است، همین‌طور رفتار نوسانی سیستم تغییر کرده است که تحلیل خوبی از رفتار سازه با افزایش انحنای صفحه بدست آمده است. با افزایش انحنای صفحه، نوسان صفحه به صورت متقاضی، نسبت به حالت تعادل انجام شده است. بنابراین، در تحلیل خطی اثر تغییر انحنا در رفتار ارتعاشی غیر متقاضی صفحه نقشی ندارد.

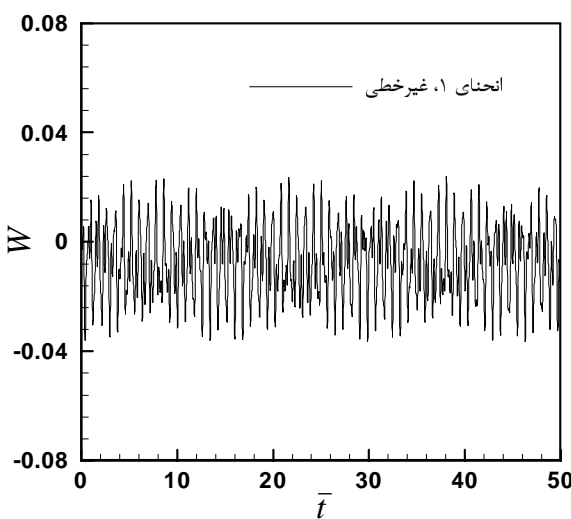
3- تحلیل فرکانسی غیرخطی سازه‌ی صفحه منحنی شکل در این بخش تحلیل فرکانسی غیرخطی سازه صفحه منحنی شکل را تحت تحریک اولیه متفاوت، در حوزه زمان انجام داده و نتایج مورد بررسی قرار گرفته است. شکل 4 نوسان بی‌بعد صفحه تخت غیرخطی با مقدار اولیه تحریک $0/01$ به صورت متقاضی نسبت به حالت تعادل صفحه در محدوده



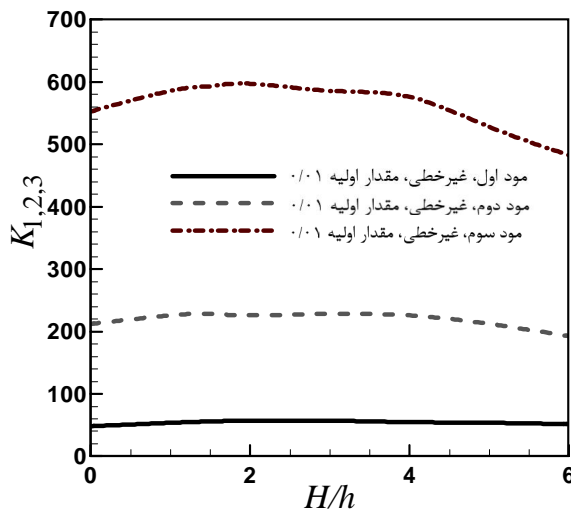
(الف) نوسان با دامنه بی‌بعد



شکل 3 نوسان و فرکانس خطی صفحه در طول زمان با انحنای 2



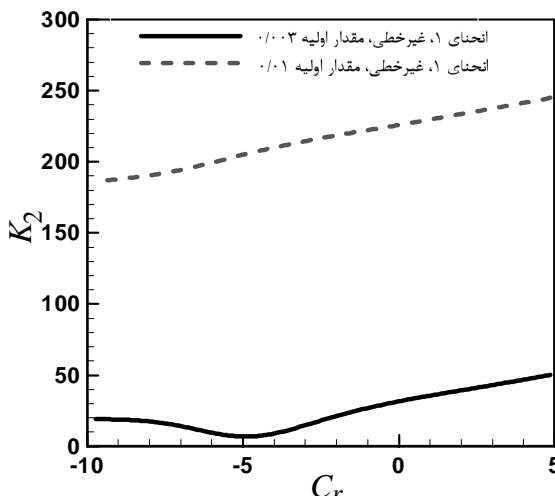
شکل 5 نوسان صفحه غیرخطی با انحنای 1 و مقدار اولیه $0/01$



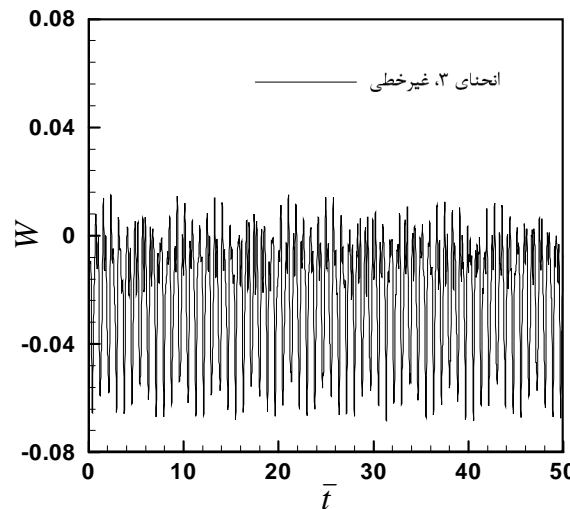
شکل 8 فرکانس مود اول تا سوم غیرخطی صفحه منحنی شکل

در مدل خطی تغییرات فرکانسی سازه در مودهای فرد بسیار زیاد نشان داده شده است و با حالت واقعی تفاوت پیدا کرده است. این موضوع از نقاط ضعف مدل سازی خطی برای تحلیل آیروالاستیک صفحه دو بعدی منحنی شکل است. در مدل غیرخطی تغییرات فرکانسی بسیار یکنواخت با تغییرات محدود براساس تغییر انحنا، نشان داده شده است.

اثر نیروی کششی و فشاری داخل صفحه در تغییر پاسخ فرکانسی صفحه خمیده غیرخطی با انحنای ۱، برای مقادیر تحریک اولیه ۰/۰۰۳ و ۰/۰۱ در شکل ۹ نشان داده شده است. برای تحریک ۰/۰۱ با افزایش بار فشاری، فرکانس مود دوم کاهش یکنواختی دارد، اما، برای تحریک ۰/۰۰۳، با افزایش بار فشاری برای مقادیر -۵ < C_r < ۰، فرکانس سیستم حالت افزایشی پیدا کرده است. بنابراین، مقدار تحریک اولیه و مقدار نیروی خارجی داخل صفحه، در پاسخ سیستم، بسیار مهم است و پاسخ به محدودیت تحریک اعمال شده به سازه بسیار حساس است. می‌توان نتیجه گرفت، مقدار تحریک اعمال شده به سازه از طرف جریان سیال بالای سطح، در پاسخ سازه و رفتار آن موثر است. به ویژه هنگامی که با اثر نیروهای مکانیکی داخل صفحه ادغام شده باشد.



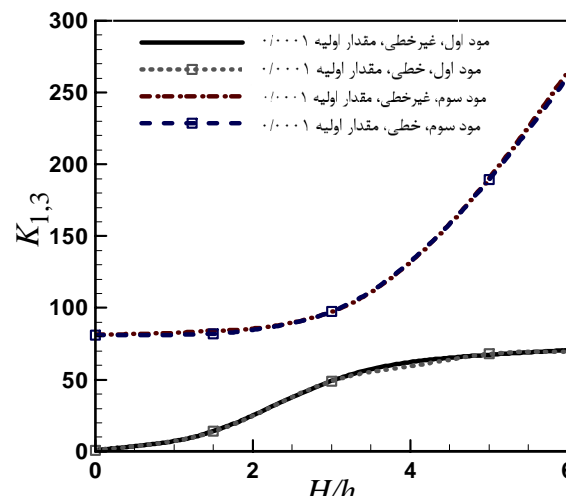
شکل 9 مقایسه مقدار اولیه در فرکانس مود دوم غیرخطی صفحه خمیده، بر حسب نیروی فشاری داخل صفحه



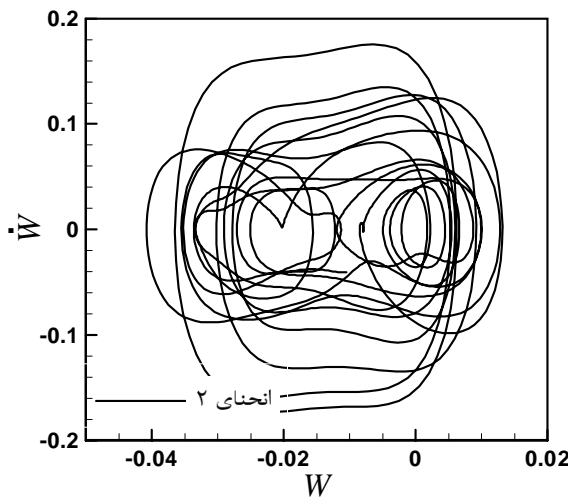
شکل 6 نوسان صفحه غیرخطی با انحنای ۳ و مقدار اولیه ۰/۰۱

برای مقایسه نتایج تحلیل فرکانسی خطی و غیرخطی سیستم، ابتدا تحلیل فرکانسی خطی انجام شده است. سپس، تحلیل غیرخطی برای مقادیر اولیه تحریک ۰/۰۰۳، ۰/۰۰۱ و ۰/۰۰۰۳ برآورد شده است. برای تحریک اولیه ۰/۰۰۰۱ در شکل ۷ نتایج فرکانس مود اول و سوم سازه خطی و غیرخطی صفحه خمیده مقایسه شده است. با افزایش انحنای صفحه هر دو فرکانس در حال افزایش هستند. با افزایش انحنا بیشتر از ۳، فرکانس سوم (فرد) صفحه افزایش قابل توجهی نشان داده است. همین‌طور برای مقدار اولیه بسیار کوچک ۰/۰۰۰۱ نتایج تحلیل خطی و غیرخطی بسیار متفاوتند. برای مقایسه نتایج فرکانسی شکل ۷ و ۸، با افزایش تحریک اولیه نتایج فرکانسی از حالت خطی به غیرخطی تبدیل شده است.

در شکل ۸ فرکانس غیرخطی مود اول، دوم و سوم صفحه برای مقدار اولیه ۰/۰۱ ترسیم شده است. با افزایش انحنای صفحه تا ۳، فرکانس‌ها افزایش یافته، سپس کمی کاهش را، نشان داده‌اند. تغییرات فرکانس‌ها کم بوده و برای انحنای بیشتر از ۳ سیر نزولی کسب کرده است. در مقایسه نتایج فرکانسی شکل ۷ و ۸، با افزایش تحریک اولیه نتایج فرکانسی از حالت خطی به غیرخطی تبدیل شده است.



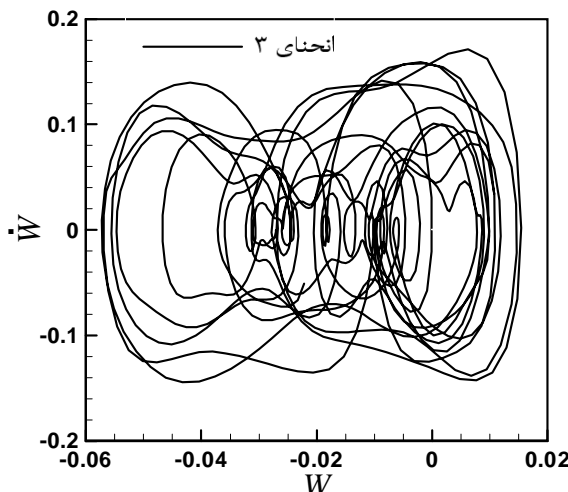
شکل 7 مقایسه فرکانس مود اول و سوم در تحلیل خطی و غیرخطی



شکل 11 رفتار آشوبناک صفحه خمیده با انحنای 2

شکل 12 رفتار آشوبناک صفحه منحنی شکل، برای انحنای 3 را، در محدوده $W/0.015 < \dot{W} < 0.06$ نشان داده است. با افزایش انحنا، رفتار صفحه از سیکل محدود به آشوبناک تبدیل شده و دامنه نوسان صفحه نیز افزایش یافته است.

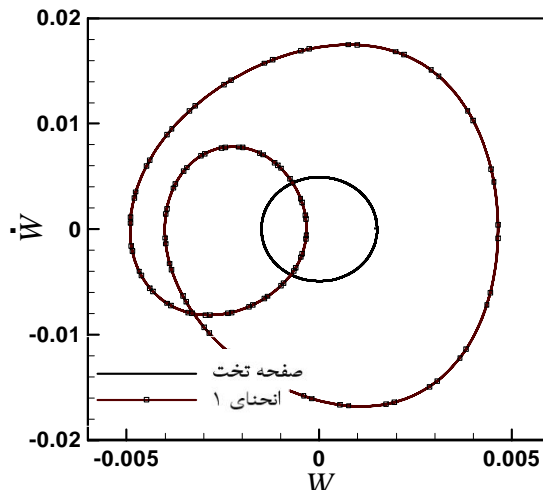
با افزایش انحنای صفحه به 4 و 5 در شکل 13، رفتار صفحه به سیکل محدود تبدیل شده که در یک باند مشخص در نوسان است. در واقع رفتار سیکل محدود چند دوره‌ای در این شکل مشاهده شده است. با افزایش انحنای صفحه از حالت صفحه تخت تا انحنای 5، دامنه نوسانات در حال افزایش و مرکز تعادل استاتیکی نوسان صفحه در جهت انحنای صفحه افزایش یافته است. بنابراین، رفتار پسا فلتر صفحه در جریان مافق صوت برای صفحه استوانه‌ای خمیده، بسیار حساس به انحنای صفحه است. با افزایش انحنای صفحه از حالت تخت، رفتار صفحه بسیار متغیر نشان داده است. در شکل 14 الف و ب، به ترتیب نوسان سیکل محدود صفحه تخت و منحنی شکل، با انحنای 1 ترسیم شده است. اثر بار فشاری داخل صفحه تخت (C_r)، به مقدار $2/43$ -فرض شده است. در شکل 14 الف، برای صفحه تخت اثر بار فشاری شکل دو بار، کاهش دامنه نوسان را به همراه داشته است. البته نوسان به صورت متقارن است. با افزایش انحنا به 1، بخلاف حالت بدون اثر نیروی داخل صفحه در شکل 10، رفتار سیستم از سیکل محدود به آشوبناک تغییر یافته است. همین‌طور، دامنه نوسانات نیز افزایش



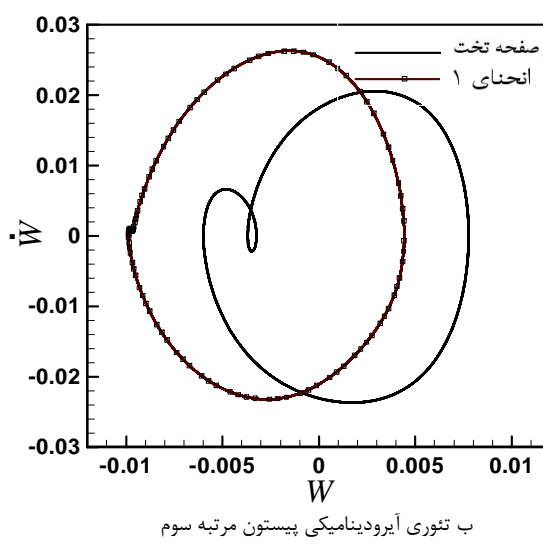
شکل 12 رفتار آشوبناک صفحه خمیده با انحنای 3

3-3-تحلیل آپرالاستیک غیرخطی صفحه منحنی شکل در این بخش، تحلیل رفتار آپرالاستیک صفحه منحنی شکل، با تغییر انحنای صفحه و اثر نیروی داخل صفحه، بررسی شده است. در شکل 10 الف و ب، نوسان سیکل محدود صفحه تخت و منحنی شکل، با انحنای 1، به ترتیب با استفاده از تئوری آپرودینامیکی پیستون مرتبه اول و تئوری غیرخطی مرتبه سوم ترسیم شده است. برای هر دو حالت، رفتار صفحه، نوسان سیکل محدود است. اما شکل سیکل محدود و اندازه‌ی آن، با افزایش انحنای صفحه و افزایش مرتبه تئوری آپرودینامیک پیستون، تغییر کرده و افزایش یافته است. برای صفحه با انحنای 1، با افزایش مرتبه تئوری پیستون، نوسان صفحه از حالت متقارن به نامتقارن تبدیل شده و نوسان‌ها در جهت خمیدگی صفحه انتقال یافته است. با توجه به نتایج ارتعاشات غیرخطی صفحه در بخش 2-3، شکل 10 ب، تصویر مناسب‌تری از رفتار آپرالاستیک صفحه ارائه کرده است.

با افزایش بیشتر انحنای صفحه، رفتار آشوبناک صفحه منحنی شکل، با انحنای 2 در شکل 11 نشان داده است. با افزایش انحنای صفحه، دامنه نوسانات افزایش یافته و در محدوده $W/0.04 < \dot{W} < 0.015$ قرار گرفته است.



الف تئوری آپرودینامیکی پیستون مرتبه اول



ب تئوری آپرودینامیکی پیستون مرتبه سوم

شکل 10 نوسان سیکل محدود صفحه تخت و خمیده با انحنای 1

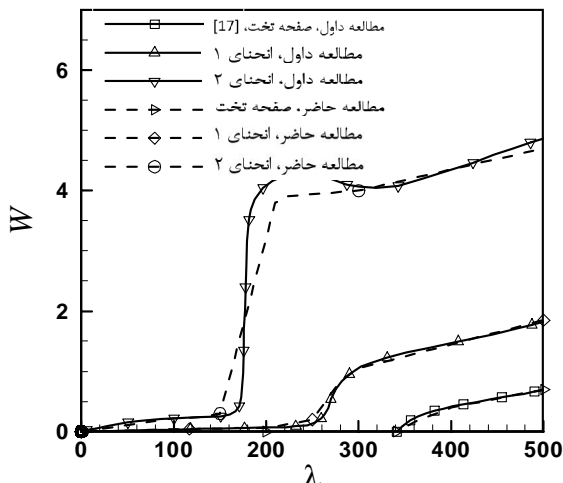
3- راستی آزمایی

تغییر دامنه جابجایی صفحه منحنی شکل بر حسب تغییر فشار دینامیکی فلاتر بی بعد سیستم λ ، برای انحنای های مختلف، در شکل 15، ترسیم شده است. با افزایش فشار دینامیکی، دامنه جابجایی افزایش یافته است. جابجایی بی بعد $W/h = W/W_h$ تعریف شده است. نتایج حاصل از کد با نتایج داول هموxonی بسیار خوبی دارد [17].

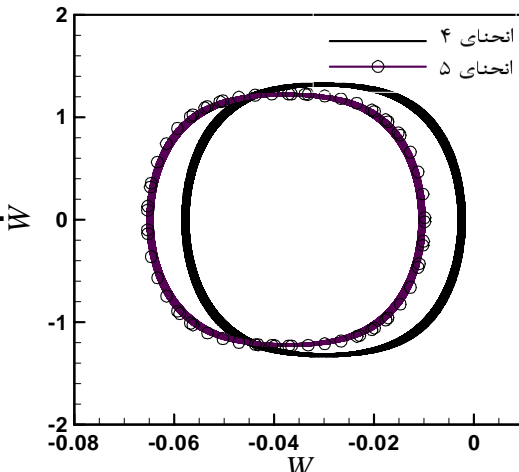
برای صفحه تخت غیرخطی با اثر نیروی داخل صفحه، تحقیق حاضر، با فعالیت ایپوریانو مقایسه شده است [29]. برای ضرب نیروی فشاری، $2/8$ -نمودار سیکل محدود در شکل 16، نشان داده شده است. نتایج حاصل از کد، با فعالیت ایپوریانو کاملاً مطابق شده است.

4- نتیجه گیری نهایی

تحقیق انجام شده، شامل بررسی اثر بارهای محیطی بر روی شرایط پایداری صفحه تخت و منحنی شکل تحت اثر بارگذاری آبرودینامیکی مافق صوت، با ترکیب نیروی فشاری داخل صفحه است که نتایج جالب توجهی حاصل

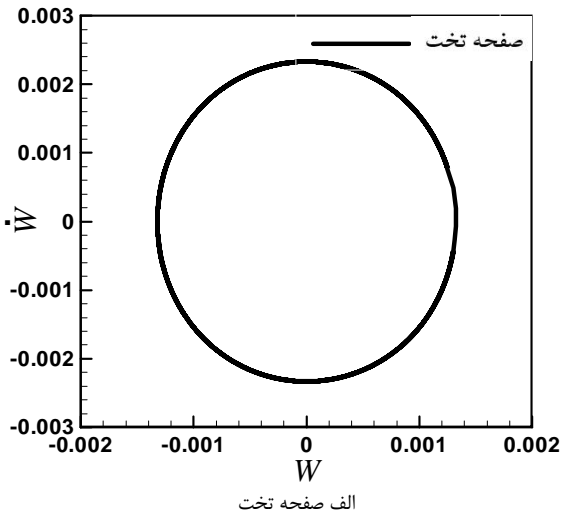


شکل 15 دامنه نوسان صفحه منحنی، بر حسب تغییر فشار دینامیکی فلاتر بی بعد

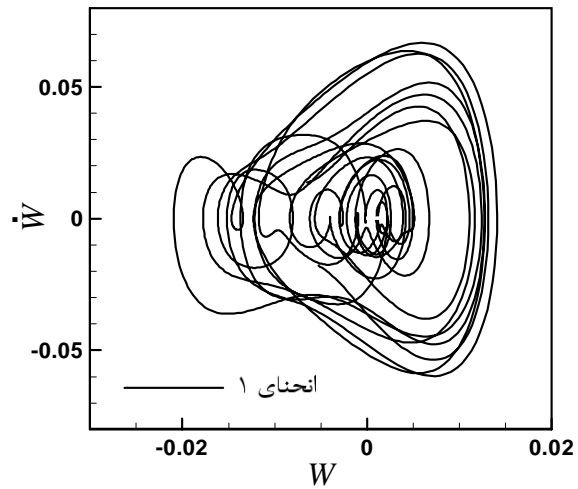


شکل 13 نوسان سیکل محدود صفحه با انحنای 4 و 5

یافته است. بنابراین، اثر نیروی داخل صفحه در تغییر رفتار و بحرانی تر شدن آن، تأثیر مستقیم دارد. همین‌طور، اثر نیرو برای صفحه تخت و منحنی باعث رفتار متفاوتی شده، زیرا در اولی کاهش دامنه نوسان و در دومی افزایش دامنه مشاهده شده است.



الف صفحه تخت



ب صفحه با انحنای 1

شکل 14 نوسان سیکل محدود و آشوبناک صفحه تخت و منحنی شکل؛ با اثر بار

$$C_r = -2/43$$

داخل صفحه

شکل 16 مقایسه نتایج سیکل محدود صفحه تخت غیرخطی، با اثر نیروی داخل

$$\text{صفحه، با ضرب} C_r = -2/8$$

- [4] Ch. Kuo, L. Morino, J. Dugundji, Perturbation and harmonic balance methods for non-linear panel flutter problem, *AIAA Journal*, Vol. 10, pp. 1479-1484, 1972.
- [5] J.C. Dorsey, Metalic thermal protection system technology development: concepts, requirements and assessment overview, *AIAA 40th Aerospace Science Meeting*, AIAA 2002-0502, Reno, January 2002M.
- [6] X. Guo, C. Mei, Application of aeroelastic modes on nonlinear supersonic panel flutter at elevated temperatures, *Comput. Struct.*, Vol. 84, pp. 1619-1628, 2006.
- [7] A.J. Culler, J.J. McNamara, Studies on fluid-thermal-structural coupling for aero-thermo-elasticity in hypersonic flow, *AIAA Journal*, Vol. 48, pp. 1721-1738, 2010.
- [8] R. Perez, X.Q. Wang, M.P. Mignolet, Nonlinear reduced-order models for thermoelastodynamic response of isotropic and functionally graded panels, *AIAA Journal*, Vol. 49, pp. 630-641, 2011.
- [9] M.R. Visbal, On the interaction of an oblique shock with a flexible panel, *Journal of Fluids and structures*, Vol. 30, pp. 219-225, 2012.
- [10] Y.C. Fung, The static stability of a two dimensional curved panel in a supersonic flow with an application to panel flutter, *J. Aeronaut. Sci.*, Vol. 21, pp. 556-565, 1954.
- [11] J.E. Yates, E.F.E. Zeijdel, *flutter of curved panels*. Air Force Office of Scientific Research TR 59-163, Midwest research institute, 1959.
- [12] W.J. Anderson, *Experiments on the flutter of flat and slightly curved panels at Mach number 2.81*, Air Force office of scientific research TN 2996, California Institute of Technology, Pasadena, 1962.
- [13] R.O. Stearman, M.H. Lock, Y.C. Fung, ames tests on the flutter of cylindrical shells, *aeroelasticity and structural dynamics*, California institute of technology, Pasadena, SM 62-37, 1962.
- [14] V.V. Bolotin, On the density of the distribution of natural frequencies of thin elastic shells, *Journal of Applied Mathematics and Mechanics*, Vol. 27, pp. 538-543, 1963.
- [15] J.C. Houbolt, A Study of Several Aerothermoelastic Problems of Aircraft Structures in High-speed Flight, *Mitteilungen aus dem Institute für Flugzeugstatik und Leichtbau*, Verlag Leeman, Vol. 5, 1965J.C.
- [16] H.G. Schaeffer, W.I.Jr. Heard, Flutter of a flat panel subjected to a non-linear temperature distribution, *AIAA Journal*, Vol. 8, pp. 1918-1923, 1965.
- [17] E.H. Dowell, Nonlinear flutter of curved plate, part 1, *AIAA Journal*, Vol. 7, pp. 424-431, 1969.
- [18] C.S. Ventres, E.H. Dowell, Comparison of theory and experiment for non-linear flutter of loaded plates, *AIAA Journal*, Vol. 8, pp. 2022-2030, 1970.
- [19] T.Y. Yang, A.D. Han, Flutter of thermally buckled finite element panels, *AIAA Journal*, Vol. 4, pp. 975-977, 1976.
- [20] D.Y. Xue, C. Mei, Finite element non-linear panel with arbitrary temperatures in supersonic flow, *AIAA Journal*, Vol. 31, pp. 154-162, 1993.
- [21] R.C. Zhou, D.Y. Xue, C. Mei, Finite element time domain modal formulation for non-linear flutter of composite panels, *AIAA Journal*, Vol. 32, pp. 2044-2052, 1994.
- [22] L. Librescu, W. Lin, M.P. Nemeth, J.H. Starnes, Vibration of geometrically imperfect panels subjected to thermal and mechanical loads, *J. Spacecr. Rockets*, Vol. 33, pp. 285-291, 1996.
- [23] L. Librescu and W. Lin, Vibration of thermomechanically loaded flat and curved panels taking into account geometric imperfections and tangential edge restraints, *Int. J. Solids Struct.*, Vol. 34, pp. 2161-2181, 1997.
- [24] L. Librescu, P. Marzocca, W.A. Silva, Linear/non-linear supersonic panel flutter in a high-temperature field, *J. Aircraft*, Vol. 41, pp. 918-924, 2004.
- [25] L.K. Abbas, X. Rui, P. Marzocca, M. Abdalla, R.D. Breuker, A parametric study on supersonic/hypersonic flutter behavior of aero-thermo-elastic geometrically imperfect curved skin panel, *Acta Mech*, Vol. 222, pp. 41-57, 2011.
- [26] C. Yang, Z. Wan, Aerothermal-aeroelastic two-way coupling method for hypersonic curved panel flutter, *Science China Technological Sciences*, Vol. 55, pp. 831-840, 2012.
- [27] J.N. Reddy, *Mechanics of Laminated Composite Plates and Shells :Theory and Analysis*, 2nd ed. USA: CRC Press, 2003.
- [28] B.A. Miller, J.J. McNamara, S.M. Spottswood, A.J. Culler, The impact of flow induced loads on snap-through behavior of acoustically excited, thermally buckled panels, *Journal of sound and vibration*, Vol. 330, pp. 5736-5752, 2011.
- [29] B.I. Epureanu, L. S. Tang, M. P. Paidoussis, Coherent structures and their influence on the dynamics of aeroelastic panels, *International Journal of Non-Linear Mechanics*, Vol. 39, No. 6, pp. 977-991, 2004.
- [30] B. Ghadiri Dehkordi, M. Razi, S. Hamidi, Sweep wing Dynamic instability analysis in time domain, *Mechanics Journal of Tarbiat modares*, No. 37, pp. 93-106, 2009. (In Persian).
- [31] M.A. Kouchakzadeh, M. Rasekh, H. Haddadpour, Panel flutter analysis of general laminated composite plates, *J. Composite Structures*, 92, 2906-2915, 2010.

شده است. صفحه دو بعدی با شرایط مرزی تکیه گاه ساده در نظر گرفته شده است. تحلیل فرکانسی خطی و غیرخطی صفحه با شرایط اولیه متفاوت و اثر نیروی فشاری داخل صفحه انجام شده است. همین طور، بررسی شرایط پایابداری پسا فلاتر صفحه تخت و منحنی شکل با استفاده از مدل ثئوری پیستون مرتبه اول و سوم، صورت پذیرفته و به طور کلی نتایج زیر حاصل شده است.

- با افزایش انحنای صفحه، فرکانس های سازه خطی افزایش یافته است. با افزایش انحنای صفحه، فرکانس های غیرخطی مود اول تا سوم برای نسبت انحنای کمتر از 3 افزایش داشته و سپس مقدار کمی کاهش نشان داده است. به طور کل تغییرات فرکانسی صفحه در تحلیل غیرخطی بسیار کمتر از حالت خطی است.

- برای صفحه با انحنای 1، با مقدار اولیه 0/003 و 0/01، با افزایش نیروی تراکمی صفحه در بازه $5 < C_r < 10$ ، فرکانس ها رفتار کمی متفاوت نشان داده اند. برای مقدار اولیه تحریک 0/003 با افزایش بار فشاری، افزایش فرکانس مشاهده شده است.

- با افزایش انحنای صفحه از صفر تا 5، ابتدا نوسانات سیکل محدود است، سپس برای انحنای 2 تا 3 رفتار سیستم آشوبناک شده و با افزایش انحنای یک باند مشخص از حرکت سیکل محدود مشاهده شده است. بنابراین حساسیت رفتار نوسانی صفحه وابستگی زیادی به انحنای صفحه دارد.

- با افزایش انحنای صفحه، عدد ماخ فلاتر صفحه غیرخطی، کاهش یافته است. با استفاده از ثئوری پیستون مرتبه سه نسبت به مرتبه یک، عدد ماخ فلاتر کاهش یافته است. همین طور، با افزایش انحنای صفحه، محدوده جابجایی و ارتعاش صفحه، از مقادیر مثبت به منفی تبدیل شده است.

5 - فهرست عالم

^a پنهانی صفحه (m)	^c سرعت صوت، سرعت جریان آزاد (ms ⁻¹)
^D سفتی صفحه	^D ضخامت صفحه، ضخامت بی بعد و نسبت ضخامت به شعاع
^M عدد ماخ	^{h, \bar{h}, \hat{h}} انحنای صفحه
^{N_x, M_x} نیروی داخل صفحه و گشتاور نیروی صفحه	^{R_x, C_r} نیروی فشاری داخل صفحه و ضربی نیروی فشاری
^{P^d, P^s} فشار دینامیکی و استاتیکی بالا و پایین صفحه	^{w_0, \hat{w}_0} جابجایی عمودی و تغییر شکل اولیه صفحه
^{q_\infty, \rho_\infty} فشار دینامیکی و چگالی جریان	^{\Omega_0, \bar{\Omega}, K} فرکانس اول، فرکانس بی بعد اول و فرکانس بی بعد برحسب فرکانس اول
^{R_x} شعاع انحنای صفحه منحنی	^{\Delta P_a} فشار آبرودانیمیکی اعمالی به صفحه

6 - مراجع

- [1] P.F. Jordan, The physical nature of panel flutter, *Aeronaut. Digest*, Vol. 72, pp. 34-38, 1965.
- [2] E.H. Dowell, H.M. Voss, Experimental and Theoretical Panel Flutter Studies in the Mach Number Range 1.0 to 5.0, *AIAA Journal*, Vol. 3, No. 12, pp. 2292-2304, Dec 1965.
- [3] J. Dugundji, Theoretical considerations of panel flutter at high supersonic Mach numbers, *AIAA Journal*, Vol. 4, pp. 1257-1266, 1966.